

МИНИСТЕРСТВО НАУКИ И ВЫСШЕГО ОБРАЗОВАНИЯ РФ
ФЕДЕРАЛЬНОЕ ГОСУДАРСТВЕННОЕ БЮДЖЕТНОЕ ОБРАЗОВАТЕЛЬНОЕ
УЧРЕЖДЕНИЕ ВЫСШЕГО ОБРАЗОВАНИЯ
«ВОРОНЕЖСКИЙ ГОСУДАРСТВЕННЫЙ УНИВЕРСИТЕТ»

**МЕТОД СЕТОК РЕШЕНИЯ КРАЕВЫХ ЗАДАЧ
ДЛЯ ДИФФЕРЕНЦИАЛЬНЫХ УРАВНЕНИЙ
С ЧАСТНЫМИ ПРОИЗВОДНЫМИ**

Учебное пособие

Воронеж
Издательский дом ВГУ
2019

УДК 517.9
ББК 22.193
М545

А в т о р ы:

А. В. Костин, Д. В. Костин, И. В. Колесникова, М. Н. Силаева

Р е ц е н з е н т ы:

доктор физико-математических наук, доцент кафедры математического анализа
ФГБОУ ВО «Воронежский государственный университет» *С. А. Шабров*,
кандидат физико-математических наук, доцент кафедры прикладной математики
и механики ФГБОУ ВО «Воронежский государственный технический
университет» *Л. В. Стенюхин*

Костин А. В.

М545 Метод сеток решения краевых задач для дифференциальных
уравнений с частными производными : учебное пособие /
А.В. Костин, Д. В. Костин, И. В. Колесникова, М. Н. Силаева ;
Воронежский государственный университет. – Воронеж :
Издательский дом ВГУ, 2019. – 43 с.
ISBN 978-5-9273-2760-7

Настоящее учебное пособие посвящено рассмотрению простейших
разностных схем для уравнения теплопроводности и для уравнения Лапласа.

Для бакалавров 3 и 4 курсов очной формы обучения математических
факультетов вузов.

УДК 517.9
ББК 22.193

ISBN 978-5-9273-2760-7

© Костин А. В., Костин Д. В., Колесникова
И. В., Силаева М. Н., 2019
© Воронежский государственный
университет, 2019
© Оформление, оригинал-макет.
Издательский дом ВГУ, 2019

Оглавление

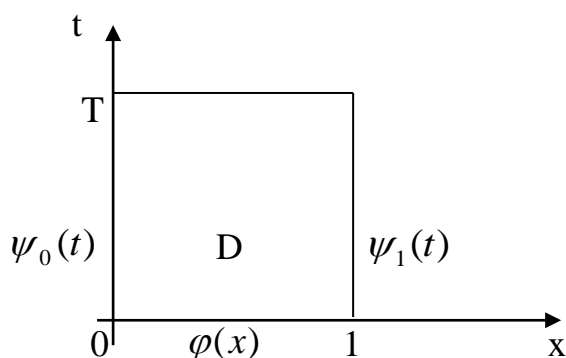
| | |
|--|----|
| Простейшие разностные схемы для уравнения теплопроводности | 4 |
| Постановка задачи | 4 |
| Разностная схема | 4 |
| Аппроксимация и устойчивость разностной схемы | 8 |
| Разностная схема для эллиптического уравнения | 20 |
| Постановка задачи | 20 |
| Разностная схема | 21 |
| Аппроксимация и устойчивость разностной схемы | 24 |
| Итерационный метод решения разностной схемы | 31 |
| Задания для практической работы | 33 |

Простейшие разностные схемы для уравнения теплопроводности

1. Постановка задачи

Рассмотрим смешанную краевую задачу для уравнения теплопроводности

$$\frac{\partial u}{\partial t} = \frac{\partial^2 u}{\partial x^2} + f(t; x), \quad 0 \leq x \leq 1, \quad 0 \leq t \leq T, \quad (1)$$



с начальным и краевыми условиями

$$\begin{cases} u(0; x) = \varphi(x), & 0 \leq x \leq 1, \\ u(t; 0) = \psi_0(t), \\ u(t; 1) = \psi_1(t). \end{cases} \quad 0 \leq t \leq T, \quad (2)$$

Будем считать, что правая часть дифференциального уравнения $f(t; x)$ и функции $\varphi(x), \psi_0(t), \psi_1(t)$ удовлетворяет условиям, обеспечивающим существование и единственность гладкого решения $\hat{u}(t; x)$ задачи (1) - (2).

2. Разностная схема

Построим разностную схему - разностный (сеточный) аналог дифференциальной задачи (1) - (2).

Выполним следующие шаги:

1) Область непрерывного изменения аргументов
 $D = \{ (t; x) \in R^2 : 0 \leq t \leq T, 0 \leq x \leq 1 \}$ заменим дискретным
 множеством точек — сеткой

$$D_h = \{ (t_i; x_j) \in R^2 : 0 \leq i \leq M, 0 \leq j \leq N. \},$$

$$t_i = i\tau, \quad \tau = \frac{T}{M}, \quad i = 0, \dots, M, \quad x_j = jh, \quad h = \frac{1}{N}, \quad j = 0, \dots, N. \quad \text{Точки}$$

$(i\tau; jh)$, $i = 0, \dots, M$, $j = 0, \dots, N$ называются узлами сетки D_h , τ и h называются шагами сетки по оси Ot и Ox , соответственно. Узел $(i\tau; jh)$ сетки D_h будем обозначать $(i; j)$.

Сетку D_h можно представить в виде

$$D_h = \omega_h \times \omega_\tau,$$

где

$$\omega_h = \{0 = x_0 < x_1 < \dots < x_N = 1\},$$

$$\omega_\tau = \{0 = \tau_0 < \tau_1 < \dots < \tau_M = T\}.$$

Замечание. При реализации метода сеток шаги τ и h обычно выбирают согласованно. Поэтому сетка и обозначена через D_h .

2) Все функции в исходной дифференциальной задаче (1) – (2) заменим сеточными функциями - функциями, определенными в узлах сетки D_h . Сеточную функцию обозначим через

$$u_h = \{u_j^i\}, \quad i = 0, \dots, M, \quad j = 0, \dots, N. \quad \text{Проекцию функции } u(t; x) \text{ на сетку}$$

$$D_h \text{ обозначим через } [u]_h = \{u(i\tau; jh)\}, \quad i = 0, \dots, M, \quad j = 0, \dots, N.$$

3) Производные в исходной дифференциальной задаче (1) – (2) заменим разностными отношениями – сходящимися формулами численного дифференцирования:

$$\frac{\partial u(\tau; h)}{\partial t} \approx \frac{u(t + \Delta t; x) - u(t; x)}{\Delta t},$$

$$\frac{\partial^2 u(\tau; h)}{\partial x^2} \approx \frac{u(t; x - \Delta h) - 2u(t; x) + u(t; x + \Delta h)}{(\Delta h)^2}.$$

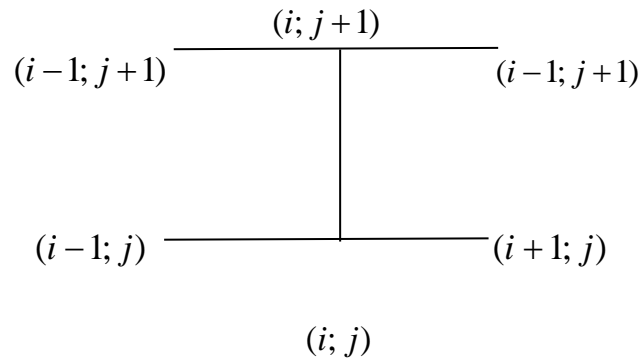
В результате получим систему линейных алгебраических уравнений:

$$\left\{ \begin{array}{l} \frac{u_j^{i+1} - u_j^i}{\tau} = \sigma \frac{u_{j-1}^{i+1} - 2u_j^{i+1} + u_{j+1}^{i+1}}{h^2} + (1 - \sigma) \frac{u_{j-1}^i - 2u_j^i + u_{j+1}^i}{h^2} + f_j^i, \\ i = 0, 1, \dots, M - 1, \quad j = 1, \dots, N - 1; \\ u_j^0 = \varphi_j^0, \quad j = 0, \dots, N; \\ u_0^i = \psi_0^i, \quad u_N^i = \psi_N^i, \quad i = 0, \dots, M. \end{array} \right. \quad (3)$$

Здесь σ - числовой параметр ($0 \leq \sigma \leq 1$), f_j^i - сеточная аппроксимация правой части дифференциального уравнения $f(t; x)$, φ_j^0 - сеточная аппроксимация начального условия $\varphi(x)$, ψ_0^i и ψ_N^i - сеточные аппроксимации краевых условий $\psi_0(\tau)$ и $\psi_1(\tau)$, соответственно.

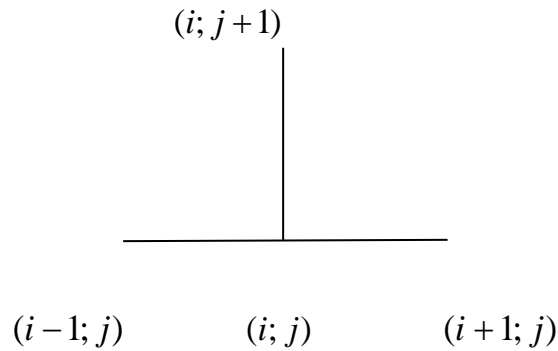
Система (3) называется **разностной схемой - разностным (дискретным) аналогом дифференциальной задачи (1) – (2)**.

Для построения разностной схемы (3) при $0 < \sigma < 1$ используется шесть точек – шеститочечный шаблон:

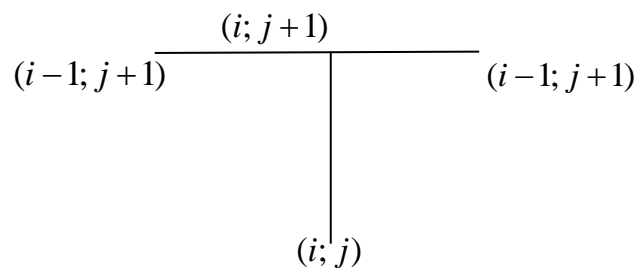


В этом случае разностную схему (3) принято называть **схемой с весами**.

Замечание. При $\sigma = 0$ разностная схема (3) называется **явной**. Шаблон имеет вид:



При $\sigma = 1$ разностная схема (3) называется целиком **неявной**. Шаблон имеет вид:



При $\sigma = 1/2$ разностная схема (3) называется схемой **Кранка-Николсона**.

Разностная схема (3) имеет послойную структуру. Зная решение на i -ом слое ($t = i\tau$) мы можем найти решение на $(i+1)$ -ом слое.

3. Аппроксимация и устойчивость разностной схемы

Введем пространства E - функций $u(t; x)$ непрерывных на D и имеющих, непрерывные частные производные $\frac{\partial u(t; x)}{\partial t}$, $\frac{\partial^2 u(t; x)}{\partial x^2}$, и пространство $F = C(D) \times C(0; 1) \times C(0; T) \times C(0; T)$.

Теперь дифференциальную задачу (1)-(2) можно записать в виде операторного уравнения:

$$Lu = g,$$

где $L: E \rightarrow F$, $u \in E$, $g \in F$,

$$Lu = \begin{cases} \frac{\partial u}{\partial t} - \frac{\partial^2 u}{\partial x^2}, \\ 0 < t < T, \quad 0 < x < 1; \\ u(0; x), \quad 0 \leq x \leq 1; \\ u(t; 0), \quad u(t; 1), \quad 0 \leq t \leq T; \end{cases}$$

$$g = \begin{cases} f(t; x), \quad 0 < t < T, \quad 0 < x < 1; \\ \varphi(x), \quad 0 \leq x \leq 1; \\ \psi_0(t), \quad \psi_1(t), \quad 0 \leq t \leq T. \end{cases}$$

Введем пространства сеточных функций E_h и F_h .

$$E_h : u_h \in E_h, \|u_h\|_{E_h} = \max_{i,j} |u_j^i|,$$

$$F_h : g_h \in F_h, \|g_h\|_{F_h} = \max \{ \gamma, a, b, c \},$$

$$\text{где } \gamma = \max_{i,j} |f_j^i|,$$

$$a = \max_j |\varphi(jh)|, b = \max_i |\psi_0(i\tau)|, c = \max_i |\psi_1(i\tau)|.$$

Теперь разностную схему (3) можно записать в виде операторного уравнения

$$L_h u_h = g_h, \quad (4)$$

$$\text{где } L_h : E_h \rightarrow F_h, u_h \in E_h, g_h \in F_h,$$

$$L_h u_h = \begin{cases} \frac{u_j^{i+1} - u_j^i}{\tau} - \sigma \frac{u_{j-1}^{i+1} - 2u_j^{i+1} + u_{j+1}^{i+1}}{h^2} - (1-\sigma) \frac{u_{j-1}^i - 2u_j^i + u_{j+1}^i}{h^2}, \\ \quad i = 0, 1, \dots, M-1, \quad j = 1, \dots, N-1; \\ \\ u_j^0, \quad j = 0, \dots, N; \\ \\ u_0^i, \quad u_N^i, \quad i = 0, \dots, M; \end{cases}$$

$$g_h = \begin{cases} f_j^i, & i = 0, 1, \dots, M-1, \quad j = 1, \dots, N-1; \\ \varphi_j^0, & i = 0, \quad j = 0, \dots, N; \\ \psi_0^i, \quad i = 0, \dots, M, \quad j = 0, \quad \psi_N^i, \quad i = 0, \dots, M, \quad j = N. \end{cases}$$

Замечание. Операторы $L: E \rightarrow F$ и $L_h: E_h \rightarrow F_h$ линейные и ограниченные.

По определению **разностная схема (4) аппроксимирует исходную дифференциальную задачу (1) - (2) на ее решении $\hat{u}(t; x)$ если**

$$\|L_h[\hat{u}]_h - g_h\|_{F_h} \rightarrow 0 \quad \text{при } h \rightarrow 0 \quad (\tau, h \rightarrow 0).$$

При этом, если существует константа $C > 0$ не зависящая от h , и

$$\|L_h[\hat{u}]_h - g_h\|_{F_h} \leq Ch^k \quad \text{при } h \rightarrow 0 \quad (\tau, h \rightarrow 0),$$

то будем говорить, что разностная схема (4) **аппроксимирует задачу (1)-(2) с порядком h^k .**

Разность $L_h[\hat{u}]_h - g_h = \delta g_h$ называется **невязкой**.

Пусть $0 < \sigma < 1$. Введем в рассмотрение промежуточный слой по t :

$$\tilde{t} = i\tau + \frac{\tau}{2}.$$

Тогда

$$\text{а) } \frac{\hat{u}((i+1)\tau; jh) - \hat{u}(i\tau; jh)}{\tau} = \frac{u((i+1)\tau; jh) - u(i\tau; jh)}{2\frac{\tau}{2}} = \frac{\partial \hat{u}(\tilde{t}; jh)}{\partial t} + O(\tau^2);$$

$$\begin{aligned}
& \sigma \hat{u}\left(\tilde{t} + \frac{\tau}{2}; jh\right) + (1 - \sigma) \hat{u}\left(\tilde{t} - \frac{\tau}{2}; jh\right) = \\
& \sigma \left\{ \hat{u}(\tilde{t}; jh) + \frac{\tau}{2} \frac{\partial \hat{u}(\tilde{t}; jh)}{\partial t} + \frac{1}{2!} \left(\frac{\tau}{2}\right)^2 \frac{\partial^2 \hat{u}(\tilde{t}; jh)}{\partial t^2} + O(\tau^3) \right\} + \\
6) \quad & (1 - \sigma) \left\{ \hat{u}(\tilde{t}; jh) - \frac{\tau}{2} \frac{\partial \hat{u}(\tilde{t}; jh)}{\partial t} + \frac{1}{2!} \frac{\partial^2 \hat{u}(\tilde{t}; jh)}{\partial t^2} + O(\tau^3) \right\} = \\
& \hat{u}(\tilde{t}; jh) + \left(\sigma - \frac{1}{2}\right) \frac{\partial \hat{u}(\tilde{t}; jh)}{\partial t} + O(\tau^2).
\end{aligned}$$

Следовательно,

$$\begin{aligned}
& \sigma \frac{\hat{u}\left(\tilde{t} + \frac{\tau}{2}; (j-1)h\right) - 2\hat{u}\left(\tilde{t} + \frac{\tau}{2}; jh\right) + \hat{u}\left(\tilde{t} + \frac{\tau}{2}; (j+1)h\right)}{h^2} + \\
& + (1 - \sigma) \frac{\hat{u}\left(\tilde{t} - \frac{\tau}{2}; (j-1)h\right) - 2\hat{u}\left(\tilde{t} - \frac{\tau}{2}; jh\right) + \hat{u}\left(\tilde{t} - \frac{\tau}{2}; (j+1)h\right)}{h^2} = \\
& = \frac{\partial^2 \hat{u}(\tilde{t}; jh)}{\partial x^2} + \left(\sigma - \frac{1}{2}\right) \tau \frac{\partial^3 \hat{u}(\tilde{t}; jh)}{\partial t \partial x^2} + O(\tau^2 + h^2).
\end{aligned}$$

Так как для краевых условий на промежуточном слое

$$L_h[\hat{u}]_h = \begin{cases} \frac{\hat{u}((i+1)\tau; jh) - \hat{u}(i\tau; jh)}{\tau} - \\ - \sigma \frac{\hat{u}((i+1)\tau; (j-1)h) - 2\hat{u}((i+1)\tau; jh) + \hat{u}((i+1)\tau; (j+1)h)}{h^2} - \\ - (1 - \sigma) \frac{\hat{u}(i\tau; (j-1)h) - 2\hat{u}(i\tau; jh) + \hat{u}(i\tau; (j+1)h)}{h^2}, \\ i = 1, \dots, M-1, \quad j = 1, \dots, N-1; \\ \hat{u}(0; jh), \quad i = 0, \quad j = 0, \dots, N; \\ \hat{u}(\tilde{t}; 0), \quad i = 0, \dots, M, \quad j = 0; \quad \hat{u}(\tilde{t}; 1), \quad i = 0, \dots, M, \quad j = N; \end{cases}$$

То полагая

$$f_j^i = f(\tilde{t}; jh) = f\left(i\tau + \frac{\tau}{2}; jh\right), \varphi_j^0 = \varphi(jh), \psi_0^i = \psi_0(\tilde{t}) = \psi_0\left(i\tau + \frac{\tau}{2}\right),$$

$$\psi_N^i = \psi_1(\tilde{t}) = \psi_1\left(i\tau + \frac{\tau}{2}\right), \text{ имеем при } \sigma \neq \frac{1}{2}$$

$$\delta g_h = \begin{cases} O(\tau) + O(h^2), & i = 1, \dots, M-1, \quad j = 1, \dots, N-1; \\ 0, & i = 0, \quad j = 0, \dots, N; \\ 0, & i = 0, \dots, M, \quad j = 0, \quad j = N. \end{cases}$$

и при $\sigma = \frac{1}{2}$

$$\delta g_h = \begin{cases} O(\tau^2) + O(h^2), & i = 1, \dots, M-1, \quad j = 1, \dots, N-1; \\ 0, & i = 0, \quad j = 0, \dots, N; \\ 0, & i = 0, \dots, M, \quad j = 0, \quad j = N. \end{cases}$$

Отсюда, используя промежуточный слой $\tilde{t} = i\tau + \frac{\tau}{2}$ и соответствующую аппроксимацию входных данных задачи (1)-(2):

$$f_j^i = f(\tilde{t}; jh) = f\left(i\tau + \frac{\tau}{2}; jh\right), \quad \varphi_j^0 = \varphi(jh), \quad \psi_0^i = \psi_0(\tilde{t}) = \psi_0\left(i\tau + \frac{\tau}{2}\right),$$

$$\psi_N^i = \psi_1(\tilde{t}) = \psi_1\left(i\tau + \frac{\tau}{2}\right) \text{ получаем, что разностная схема с весами}$$

обладает свойством аппроксимации и

$$1) \|\delta g_h\|_{F_h} = O(\tau) + O(h^2), \text{ при } 0 < \sigma < 1, \sigma \neq \frac{1}{2},$$

$$2) \|\delta g_h\|_{F_h} = O(\tau^2) + O(h^2), \text{ при } \sigma = \frac{1}{2}.$$

Аналогично проверяем, что явная и целиком неявная разностные схемы обладают свойством аппроксимации и $\|\delta g_h\|_{F_h} = O(\tau) + O(h^2)$.

Для явной разностной схемы

$$\left\{ \begin{array}{l} \frac{u_j^{i+1} - u_j^i}{\tau} - \frac{u_{j-1}^i - 2u_j^i + u_{j+1}^i}{h^2} = f(i\tau; jh), \\ i = 0, \dots, M-1, \quad j = 1, \dots, N-1; \\ u_j^0 = \varphi(jh), \quad j = 0, \dots, N; \\ u_0^i = \psi_0(i\tau), \quad u_N^i = \psi_1(i\tau), \quad i = 0, \dots, M; \end{array} \right. \quad (5)$$

мы полагаем $f_j^i = f(i\tau; jh)$, $\varphi_j^0 = \varphi(jh)$, $\psi_0^i = \psi_0(i\tau)$, $\psi_N^i = \psi_1(i\tau)$ и проверяем аппроксимацию на слое $t = i\tau$.

Для целиком неявной разностной схемы

$$\left\{ \begin{array}{l} \frac{u_j^{i+1} - u_j^i}{\tau} - \frac{u_{j-1}^{i+1} - 2u_j^{i+1} + u_{j+1}^{i+1}}{h^2} = f((i+1)\tau; jh), \\ i = 0, \dots, M-1, \quad j = 1, \dots, N-1; \\ u_j^0 = \varphi(jh), \quad j = 0, \dots, N; \\ u_0^i = \psi_0(i\tau), \quad u_N^i = \psi_1(i\tau), \quad i = 0, \dots, M; \end{array} \right. \quad (6)$$

мы полагаем $f_j^i = f((i+1)\tau; jh)$, $\varphi_j^0 = \varphi(jh)$, $\psi_0^i = \psi_0(i\tau)$, $\psi_N^i = \psi_1(i\tau)$ и проверяем аппроксимацию на слое $t = (i+1)\tau$.

Разностная схема (4) называется устойчивой, если для достаточно малых шагов сетки τ и h выполнены условия:

1) Для любой сеточной функции $g_h \in F_h$, уравнение $L_h u_h = g_h$ имеет единственное решение $\hat{u}_h \in E_h$ (существует обратный оператор $L_h^{-1} : F_h \rightarrow E_h$).

2) Существует константа $A > 0$, независящая от h (τ и h), такая, что для решения \hat{u}_h уравнения $L_h u_h = g_h$ имеет место неравенство

$$\|\hat{u}_h\|_{E_h} \leq A \|g_h\|_{F_h} \quad (7)$$

(норма обратного оператора равномерно по h ограничена константой $A > 0$: $\|L_h^{-1}\| \leq A$).

Замечание. Условие 2) определения устойчивости разностной схемы принято называть **условием устойчивости разностной схемы**.

Имеет место

Предложение. Если решение $\{\hat{u}_j^i\}, i = 0, \dots, M, j = 0, \dots, N$ разностной схемы (4) для любого $i = 0, \dots, M - 1$ удовлетворяет условию

$$\max_j |\hat{u}_j^{i+1}| \leq \max_j |\hat{u}_j^i| + \tau \max_{i,j} |f_j^i|, \quad (8)$$

то схема (4) устойчивая.

Неравенство (6) называется **принципом максимума**.

Действительно, рассмотрим две разностные схемы

$$L_h v_h = g_h^0 \quad \text{и} \quad L_h w_h = g_h^1,$$

где сеточные функции g_h^0 и g_h^1 определены выражениями:

$$g_h^0 = \begin{cases} 0, & i = 1, \dots, M-1, \quad j = 1, \dots, N-1; \\ \varphi_j^0, & i = 0, \quad j = 0, \dots, N; \\ \psi_0^i, & i = 0, \dots, M, \quad j = 0; \quad \psi_N^0, \quad i = 0, \dots, M, \quad j = N; \end{cases}$$

(однородное уравнение, неоднородные начальное и краевые условия) и

$$g_h^0 = \begin{cases} f_j^i, & i = 1, \dots, M-1, \quad j = 1, \dots, N-1; \\ 0, & i = 0, \quad j = 0, \dots, N; \\ 0, & i = 0, \dots, M, \quad j = 0, \quad j = N; \end{cases}$$

(неоднородное уравнение, однородные начальное и краевые условия).

Очевидно, если существуют решения первой и второй задач \hat{v}_h и \hat{w}_h , то существует и решение $\hat{u}_h = \hat{v}_h + \hat{w}_h$ разностной схемы (4).

Применим принцип максимума (6) к решению \hat{v}_h первой задачи:

$$\begin{aligned} \max_j |\hat{v}_j^{i+1}| &\leq \max_j |\hat{v}_j^i| \leq \dots \leq \max_j |\hat{v}_j^0| = \\ &= \max \left(\max_j |\varphi(jh)|, \max_i |\psi_0(i\tau)|, \max_i |\psi_1(i\tau)| \right). \end{aligned}$$

Применим принцип максимума (6) к решению \hat{w}_h второй задачи:

$$\begin{aligned} \max_j |\hat{w}_j^{i+1}| &\leq \max_j |\hat{w}_j^i| + \tau \max_{i,j} |f_j^i| \leq \\ &\leq \max_j |\hat{w}_j^{i-1}| + 2\tau \max_{i,j} |f_j^i| \leq \dots \leq \\ &\leq \max_j |w_j^0| + (i+1)\tau \max_{i,j} |f_j^i| \leq T \max_{i,j} |f_j^i|. \end{aligned}$$

Таким образом, для решения $\hat{u}_h = \hat{v}_h + \hat{w}_h$ разностной схемы (4) справедливо неравенство

$$\begin{aligned} \max_j |\hat{u}_j^{i+1}| &\leq \max_j |\hat{v}_j^{i+1}| + \max_j |\hat{w}_j^{i+1}| \leq \\ &= \max \left(\max_j |\varphi(jh)|, \max_i |\psi_0(i\tau)|, \max_i |\psi_1(i\tau)| \right) + T \max_{i,j} |f_j^i|. \end{aligned}$$

Отсюда получаем, что

$$\|\hat{u}_h\|_{E_h} \leq (1+T) \|g_h\|_{F_h},$$

условие устойчивости (7) выполнено с константой $A = 1+T$.

Предложение доказано.

Ограничимся исследованием устойчивости разностной схемы (4) в двух крайних случаях: целиком неявной схемы ($\sigma = 1$) и явной схемы ($\sigma = 0$).

Устойчивость целиком неявной схемы ($\sigma = 1$).

Обозначим $\lambda = \frac{\tau}{h^2}$. Получим из (6) для каждого $i = 0, \dots, M-1$

$$\begin{aligned} \lambda u_{j-1}^{i+1} - (1+2\lambda)u_j^{i+1} + \lambda u_{j+1}^{i+1} &= -u_j^i - \mathcal{F}((i+1)\tau; jh), \quad (9) \\ j &= 1, \dots, N-1. \end{aligned}$$

Система (9) однозначно разрешима (см. условие устойчивости метода прогонки решения системы линейных уравнений с трехдиагональной матрицей).

Пусть \hat{u}_j^{i+1} , $j = 0, \dots, N$ - решение (9) и $\max_j |\hat{u}_j^{i+1}| = \hat{u}_k^{i+1}$, где k наименьший из всех индексов, для которых $|\hat{u}_{k-1}^{i+1}| < \hat{u}_k^{i+1}$. Если $k = 0$ или $k = N$, то неравенство (8) выполнено. Пусть $k \neq 0, N$.

Уравнение системы (9) при $j = k$ запишем в виде

$$\lambda(\hat{u}_{k-1}^{i+1} - \hat{u}_k^{i+1}) + \lambda(\hat{u}_{k+1}^{i+1} - \hat{u}_k^{i+1}) - u_k^{i+1} = -u_k^i - \mathcal{F}((i+1)\tau; jh).$$

Так как сумма скобок в левой части равенства строго меньше нуля, имеем

$$\max_j |\hat{u}_j^{i+1}| = \hat{u}_k^{i+1} \leq \max_j |\hat{u}_j^i| + \tau \max_{i,j} |f_j^i|.$$

Следовательно, для целиком неявной разностной схемы имеет место неравенство (8). Это означает, что **целиком неявная разностная схема устойчива при любом соотношении шагов τ и h .**

Устойчивость явной схемы ($\sigma = 0$)

Обозначив $\lambda = \frac{\tau}{h^2}$, из (5) для каждого $i = 0, \dots, M-1$ решение $\{\hat{u}_j^{i+1}\}$, $j = 0, \dots, N$ разностной схемы находится по формуле:

$$\hat{u}_j^{i+1} = \lambda(\hat{u}_{j-1}^i + \hat{u}_{j+1}^i) + (1 - 2\lambda)\hat{u}_j^i + \mathcal{F}_j^i, \quad j = 1, \dots, N-1. \quad (10)$$

Очевидно, если $1 - 2\lambda \geq 0$, то

$$|\hat{u}_j^{i+1}| \leq |\hat{u}_j^i| + \tau \max_{i,j} |f_j^i|$$

и неравенство (8) выполнено. Следовательно, явная разностная схема

устойчива при условии $\lambda = \frac{\tau}{h^2} \leq \frac{1}{2}$.

Установим, что при $\lambda = \frac{\tau}{h^2} > \frac{1}{2}$ явная разностная схема является неустойчивой. Для этого достаточно показать, что, однажды возникнув, ошибка в решении будет при дальнейших вычислениях неограниченно возрастать.

Рассмотрим однородную задачу ($f_j^i = f(i\tau; jh) \equiv 0$). При этом схема примет вид

$$\hat{u}_j^{i+1} = \lambda(\hat{u}_{j-1}^i + \hat{u}_{j+1}^i) + (1-2\lambda)\hat{u}_j^i.$$

Пусть на k -ом слое возникла ошибки δ_j^k , $j = 1, \dots, N-1$. Тогда для вычисления ошибки на следующем слое получим формулу:

$$\delta_j^{k+1} = \lambda(\delta_{j-1}^k + \delta_{j+1}^k) + (1-2\lambda)\delta_j^k.$$

Предположим, что $\delta_j^k = (-1)^m \varepsilon$, $\varepsilon > 0$, где ε - некоторое достаточно малое число. Тогда

$$\delta_j^{k+1} = \lambda((-1)^{m-1} + (-1)^{m+1})\varepsilon + (1-2\lambda)(-1)^m \varepsilon = (-1)^m (1-4\lambda)\varepsilon$$

или

$$\delta_j^{k+1} = (-1)^{m+1} (4\lambda - 1)\varepsilon,$$

так как $4\lambda - 1 > 0$ при $\lambda > \frac{1}{2}$.

Следовательно, на слое $t = (k+l)\tau$ получим:

$$|\delta_j^{k+l}| = (4\lambda - 1)^l \varepsilon \rightarrow \infty, \text{ при } l \rightarrow \infty.$$

Замечание. При значительном уменьшении шага τ (при фиксированном T) растет число шагов и, следовательно, растет суммарная ошибка вычислений.

Окончательно получаем, что явная разностная схема устойчива при $\tau \leq \frac{h^2}{2}$ и неустойчива при $\tau > \frac{h^2}{2}$.

Замечание. Разностная схема (3) с весами устойчива:

1) при любом соотношении шагов, если $\sigma \geq \frac{1}{2}$;

$$2) \text{ при } \tau \leq \frac{h^2}{4\left(\frac{1}{2} - \sigma\right)}, \text{ если } \sigma < \frac{1}{2}.$$

Имеет место

Теорема Филиппова. Если разностная схема (4) (то же (3)) аппроксимирует исходную дифференциальную задачу (1)-(2) на ее решении $\hat{u}_h \in E_h$ и устойчива, то она сходящаяся:

$$\|\hat{u}_h - [\hat{u}]_h\|_{E_h} \rightarrow 0 \text{ при } h \rightarrow 0 \text{ } (\tau, h \rightarrow 0).$$

Действительно, имеем

$$L_h \hat{u}_h = g_h \text{ и } L_h [\hat{u}]_h = g_h + \delta g_h,$$

здесь \hat{u}_h - решение разностной схемы (3) (или что то же (4)), \hat{u} - точное решение исходной дифференциальной задачи (1) – (2).

Отсюда получаем

$$L_h ([\hat{u}]_h - u_h) = \delta g_h.$$

Пусть разностная схема аппроксимирует исходную задачу с порядком h^k . Тогда из условий аппроксимации и устойчивости немедленно следует, что

$$\|[\hat{u}]_h - \hat{u}_h\|_{E_h} \leq c \|\delta g_h\|_{F_h} \leq c \cdot A h^k.$$

Следовательно, разностная схема является сходящейся с порядком h^k .

Окончательно получаем:

Разностная схема (3) с весами сходящаяся:

1) при любом соотношении шагов с порядком $O(\tau) + O(h^2)$, если $\sigma > \frac{1}{2}$;

2) при любом соотношении шагов с порядком $O(\tau^2) + O(h^2)$, если

$$\sigma = \frac{1}{2};$$

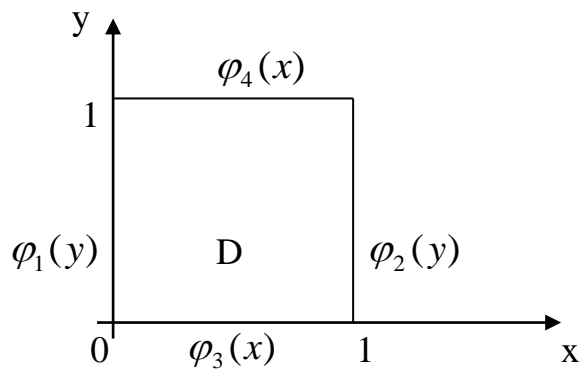
3) при $\tau \leq \frac{h^2}{4\left(\frac{1}{2} - \sigma\right)}$ с порядком $O(\tau) + O(h^2)$, если $\sigma < \frac{1}{2}$.

Разностная схема для эллиптического уравнения

1. Постановка задачи

Рассмотрим задачу Дирихле для уравнения

$$\frac{\partial^2 u}{\partial x^2} + \frac{\partial^2 u}{\partial y^2} = f(x; y), \quad 0 \leq x \leq 1, \quad 0 \leq y \leq 1, \quad (1)$$



с краевыми условиями

$$\begin{cases} u(0; y) = \varphi_1(y), \\ u(1; y) = \varphi_2(y), \\ u(x; 0) = \varphi_3(x), \\ u(x; 1) = \varphi_4(x), \end{cases} \quad \begin{matrix} 0 \leq y \leq 1, \\ 0 \leq x \leq 1. \end{matrix} \quad (2)$$

Будем считать, что правая часть дифференциального уравнения $f(x; y)$ и функции $\varphi_1(y), \varphi_2(y), \varphi_3(x), \varphi_4(x)$ удовлетворяет условиям, обеспечивающим существование и единственность гладкого решения $\hat{u}(x; y)$ задачи (1) - (2).

2. Разностная схема

Построим разностную схему - разностный аналог дифференциальной задачи (1) - (2).

Выполним следующие шаги:

1) Область непрерывного изменения аргументов $D = \{ (x; y) \in R^2 : 0 \leq x \leq 1, 0 \leq y \leq 1. \}$ заменим дискретным множеством точек — сеткой $D_h = \{ (x_i; y_j) \in R^2 : 0 \leq i \leq M, 0 \leq j \leq N. \}$, $x_i = ih, h = \frac{1}{M}, i = 0, \dots, M, y_j = jh, h = \frac{1}{N}, j = 0, \dots, N$. Точки $(ih; jh), i = 0, \dots, M, j = 0, \dots, N$ называются узлами сетки D_h , h и h называются шагами сетки по оси Ox и Oy , соответственно. Узел $(i; j)$ сетки D_h будем обозначать $(i; j)$. Обозначим множество внутренних узлов сетки через $\Omega_h = \{ (x_i; y_j) \in R^2 : 0 < i < M, 0 < j < N. \}$ и через $\Gamma_h = D_h \setminus \Omega_h$ - множество граничных узлов.

Сетку Ω_h можно представить в виде

$$\Omega_h = \omega_h \times \omega_h,$$

где $\omega_h = \{0 = x_0 < x_1 < \dots < x_M = 1\},$

$$\omega_h = \{0 = y_0 < y_1 < \dots < y_N = 1\}.$$

Замечание. При реализации метода сеток шаги обычно выбирают согласованно. Поэтому сетка и обозначена через D_h .

2) Все функции в исходной дифференциальной задаче (1) – (2) заменим сеточными функциями - функциями, определенными в узлах сетки D_h . Сеточную функцию обозначим через $u_h = \{u_{ij}\}$, $i = 0, \dots, M$, $j = 0, \dots, N$. Проекцию функции $u(x; y)$ на сетку D_h обозначим через $[u]_h = \{u(ih; jh)\}$, $i = 0, \dots, M$, $j = 0, \dots, N$.

3) Производные в исходной дифференциальной задаче (1) – (2) заменим разностными отношениями – сходящимися формулами численного дифференцирования:

$$\frac{\partial^2 u}{\partial x^2} \approx \frac{u(x - \Delta x; y) - 2u(x; y) + u(x + \Delta x; y)}{(\Delta x)^2},$$

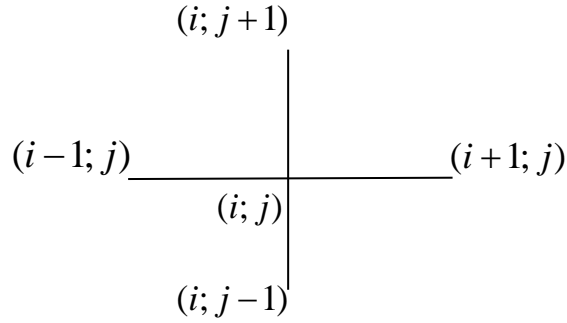
$$\frac{\partial^2 u}{\partial y^2} \approx \frac{u(x; y - \Delta y) - 2u(x; y) + u(x; y + \Delta y)}{(\Delta y)^2}.$$

В результате получим систему линейных алгебраических уравнений:

$$\left\{ \begin{array}{l} \frac{u_{i-1j} - 2u_{ij} + u_{i+1j}}{h^2} + \frac{u_{ij-1} - 2u_{ij} + u_{ij+1}}{h^2} = f(ih; jh), \\ i = 1, \dots, M-1, \quad j = 1, \dots, N-1; \\ u_{0j} = \varphi_1(jh), \quad u_{Mj} = \varphi_2(jh), \quad j = 0, \dots, N; \\ u_{i0} = \varphi_3(ih), \quad u_{iN} = \varphi_4(ih), \quad i = 0, \dots, M. \end{array} \right. \quad (3)$$

Система (3) называется разностной схемой - разностным (дискретным) аналогом дифференциальной задачи (1) – (2).

Для построения разностной схемы (3) используется пять точек – пяти-точечный шаблон:



Введем пространства сеточных функций E_h и F_h .

$$E_h : u_h \in E_h, \|u_h\|_{E_h} = \max_{i,j} |u_{ij}|,$$

$$F_h : g_h \in F_h, \|g_h\|_{E_h} = \max \{ \gamma, a, b, c, d \},$$

$$\text{где } \gamma = \max_{i,j} |f(ih; jh)|,$$

$$a = \max_j |\varphi_1(jh)|, \quad b = \max_j |\varphi_2(jh)|, \quad c = \max_i |\varphi_3(ih)|,$$

$$d = \max_i |\varphi_4(ih)|.$$

Теперь разностную схему (3) можно записать в виде операторного уравнения

$$L_h u_h = g_h, \tag{4}$$

$$\text{где } L_h : E_h \rightarrow F_h, u_h \in E_h, g_h \in F_h,$$

$$L_h u_h = \begin{cases} \frac{u_{i-1j} - 2u_{ij} + u_{i+1j}}{h^2} + \frac{u_{ij-1} - 2u_{ij} + u_{ij+1}}{\hbar^2}, \\ i = 1, \dots, M-1, \quad j = 1, \dots, N-1; \\ u_{0j}, \quad u_{Mj}, \quad j = 0, \dots, N; \\ u_{i0}, \quad u_{iN}, \quad i = 0, \dots, M; \end{cases}$$

$$g_h = \begin{cases} f(ih; j\hbar), \quad i = 1, \dots, M-1, \quad j = 1, \dots, N-1; \\ \varphi_1(j\hbar), \quad \varphi_2(j\hbar), \quad j = 0, \dots, N; \\ \varphi_3(ih), \quad \varphi_4(ih), \quad i = 0, \dots, M. \end{cases}$$

3. Аппроксимация и устойчивость разностной схемы

Разностная схема (4) аппроксимирует исходную дифференциальную задачу (1) - (2) на ее решении $\hat{u}(x, y)$ если

$$\|L_h[\hat{u}]_h - g_h\|_{F_h} \rightarrow 0 \quad \text{при } h \rightarrow 0 \quad (h, \hbar \rightarrow 0).$$

Разность $L_h[\hat{u}]_h - g_h = \delta g_h$ называется невязкой.

Покажем, что невязка $\delta g_h \rightarrow 0$ при $h \rightarrow 0$.

Так как

$$L_h[\hat{u}]_h = \begin{cases} \frac{\hat{u}((i-1)h; j\hbar) - 2\hat{u}(ih; j\hbar) + \hat{u}((i+1)h; j\hbar)}{h^2} + \\ \frac{\hat{u}(ih; (j-1)\hbar) - 2\hat{u}(ih; j\hbar) + \hat{u}(ih; (j+1)\hbar)}{\hbar^2}, \\ i = 1, \dots, M-1; \quad j = 1, \dots, N-1; \\ \\ \hat{u}(0; j\hbar), \quad \hat{u}(1; j\hbar), \quad j = 0, \dots, N; \\ \\ \hat{u}(ih; 0), \quad \hat{u}(ih; 1), \quad i = 0, \dots, M; \end{cases}$$

то, заменяя здесь $\hat{u}((i \pm 1)h; j\hbar)$ и $\hat{u}(ih; (j \pm 1)\hbar)$ соответствующими разложениями решения $\hat{u}(x; y)$ по формуле Тейлора в точке $(ih; j\hbar)$:

$$\begin{aligned} \hat{u}((i \pm 1)h; j\hbar) &= \\ &= \hat{u}(ih; j\hbar) \pm h \frac{\partial \hat{u}(ih; j\hbar)}{\partial x} + \frac{h^2}{2!} \frac{\partial^2 \hat{u}(ih; j\hbar)}{\partial x^2} \pm \frac{h^3}{3!} \frac{\partial^3 \hat{u}(ih; j\hbar)}{\partial x^3} + O(h^4), \\ \hat{u}(ih; (j \pm 1)\hbar) &= \\ &= \hat{u}(ih; j\hbar) \pm \hbar \frac{\partial \hat{u}(ih; j\hbar)}{\partial y} + \frac{\hbar^2}{2!} \frac{\partial^2 \hat{u}(ih; j\hbar)}{\partial y^2} \pm \frac{\hbar^3}{3!} \frac{\partial^3 \hat{u}(ih; j\hbar)}{\partial y^3} + O(\hbar^4), \end{aligned}$$

получаем

$$\delta g_h = \begin{cases} O(h^2) + O(\hbar^2), & i = 1, \dots, M-1, \quad j = 1, \dots, N-1; \\ \\ 0, \quad i = 0, \quad i = M, \quad j = 0, \dots, N; \\ \\ 0, \quad j = 0, \quad j = N, \quad i = 0, \dots, M. \end{cases}$$

Следовательно, $\|\delta g_h\|_{F_h} = O(h^2) + O(\hbar^2)$ и разностная схема (4)

обладает свойством аппроксимации.

Разностная схема (4) называется устойчивой, если для достаточно малых шагов сетки h и \hbar выполнены условия:

1) Для любой сеточной функции $g_h \in F_h$, уравнение $L_h u_h = g_h$ имеет единственное решение $\hat{u}_h \in E_h$ (существует обратный оператор $L_h^{-1} : F_h \rightarrow E_h$).

2) Существует константа $A > 0$, независимая от h (h и \hbar), такая, что для решения \hat{u}_h уравнения $L_h u_h = g_h$ имеет место неравенство

$$\|\hat{u}_h\|_{E_h} \leq A \|g_h\|_{F_h}$$

(норма обратного оператора равномерно по h ограничена константой $A > 0$: $\|L_h^{-1}\| \leq A$).

Замечание. Условие 2) определения устойчивости разностной схемы принято называть условием устойчивости.

Проверку устойчивости разностной схемы (4) разобьем на несколько этапов.

Предложение 1. Пусть сеточная функция $v_h = \{v_{ij}\}$ определена на всей сетке D_h и отлична от константы (не все координаты вектора $v_h = \{v_{ij}\}$ равны одному и тому же числу). Пусть на множестве внутренних узлов сетки Ω_h имеет место неравенство

$$\frac{v_{i-1j} - 2v_{ij} + v_{i+1j}}{h^2} + \frac{v_{ij-1} - 2v_{ij} - v_{ij+1}}{\hbar^2} \geq 0,$$

$$i = 1, \dots, M-1, \quad j = 1, \dots, N-1.$$

Тогда сеточная функция $v_h = \{v_{ij}\}$ принимает свое наибольшее значение в одном из граничных узлов сетки

$$v_{km} \geq v_{ij} \quad (kh; m\hbar) \in \Gamma_h, \quad i = 0, \dots, M, \quad j = 0, \dots, N.$$

Предложение 2. Пусть сеточная функция $w_h = \{w_{ij}\}$ определена на всей сетке D_h и отлична от константы. Пусть на множестве внутренних узлов сетки Ω_h имеет место неравенство

$$\frac{w_{i-1j} - 2w_{ij} + w_{i+1j}}{h^2} + \frac{w_{ij-1} - 2w_{ij} - w_{ij+1}}{\hbar^2} \leq 0,$$

$$i = 1, \dots, M-1, \quad j = 1, \dots, N-1.$$

Тогда сеточная функция $w_h = \{w_{ij}\}$ принимает свое наименьшее значение в одном из граничных узлов сетки

$$w_{rs} \leq w_{ij} \quad (rh; s\hbar) \in \Gamma_h, \quad i = 0, \dots, M, \quad j = 0, \dots, N.$$

Из Предложений 1 и 2 немедленно следует

Предложение 3. Если существует сеточная функция $z_h = \{z_{ij}\}$, определенная на всей сетке D_h , такая, что на множестве внутренних узлов сетки Ω_h имеет место равенство

$$\frac{z_{i-1j} - 2z_{ij} + z_{i+1j}}{h^2} + \frac{z_{ij-1} - 2z_{ij} - z_{ij+1}}{\hbar^2} = 0,$$

$$i = 1, \dots, M-1, \quad j = 1, \dots, N-1,$$

то она достигает своего наибольшего и наименьшего значений на множестве граничных узлов $\Gamma_h = D_h \setminus \Omega_h$.

Отсюда немедленно получаем выполнение условия 1) определения устойчивости разностной схемы. Действительно из предложения 3 следует, что однородная разностная схема $L_h u_h = \theta_h = \{\theta_{ij}\}$, ($\theta_{ij} = 0$ для всех $i = 0, \dots, M$, $j = 0, \dots, N$) имеет только нулевое решение $\hat{u}_h = \{\hat{u}_{ij}\}$, $\hat{u}_{ij} = 0$ для всех $i = 0, \dots, M$, $j = 0, \dots, N$. Таким образом, неоднородное уравнение $L_h u_h = g_h$ имеет единственное решение $\hat{u}_h \in E_h$ для любой сеточной функции $g_h \in F_h$.

Перейдем к доказательству условия устойчивости.

Заметим, что для любого многочлена второй степени

$$P(x, y) = Ax^2 + Bxy + Cy^2 + \alpha x + \beta y + \sigma$$

имеет место равенство

$$\begin{aligned} & \frac{P((i-1)h; jh) - 2P(ih; jh) + P((i+1)h; jh)}{h^2} + \\ & \frac{P(ih; (j-1)h) - 2P(ih; jh) + P(ih; (j+1)h)}{h^2} = \\ & \frac{\partial^2 P(ih; jh)}{\partial x^2} + \frac{\partial^2 P(ih; jh)}{\partial y^2}, \\ & i = 1, \dots, M-1, \quad j = 1, \dots, N-1. \end{aligned}$$

Положим

$$P(x, y) = \frac{1}{4} \left(R^2 - (x^2 + y^2) \right) \mathcal{H} + \max(a, b, c, d),$$

где $R > \sqrt{2}$, $\gamma = \max_{i,j} |f(ih; jh)|$,

$$a = \max_j |\varphi_1(jh)|, \quad b = \max_j |\varphi_2(jh)|, \quad c = \max_i |\varphi_3(ih)|, \quad d = \max_i |\varphi_4(ih)|.$$

Введем оператор Δ_h :

$$\Delta_h z_h = \left\{ \frac{z_{i-1j} - 2z_{ij} + z_{i+1j}}{h^2} + \frac{z_{ij-1} - 2z_{ij} - z_{ij+1}}{\hbar^2} \right\},$$

$$i = 1, \dots, M-1, \quad j = 1, \dots, N-1.$$

Имеем

$$\Delta_h [P]_h =$$

$$\left\{ \frac{P((i-1)h; jh) - 2P(ih; jh) + P((i+1)h; jh)}{h^2} + \right.$$

$$\left. \frac{P(ih; (j-1)h) - 2P(ih; jh) + P(ih; (j+1)h)}{\hbar^2} = -\gamma \right\},$$

$$i = 1, \dots, M-1, \quad j = 1, \dots, N-1.$$

Рассмотрим разность $\hat{u}_h - [P]_h = \{ \hat{u}_{ij} - P(ih; jh) \}$, где

$\hat{u}_h \in E_h$ - решение разностной схемы.

Очевидно, что

$$\Delta_h (\hat{u}_h - [P]_h) = \{ f(ih; jh) + \gamma \}, \quad i = 1, \dots, M-1, \quad j = 1, \dots, N-1.$$

Так как $f(ih; jh) + \gamma \geq 0$ для $i = 1, \dots, M-1, \quad j = 1, \dots, N-1$, то из Предложения 1 следует, что сеточная функция $\hat{u}_h - [P]_h = \{ \hat{u}_{ij} - P(ih; jh) \}$ ($i = 0, \dots, M, \quad j = 0, \dots, N$) достигает

своего наибольшего значения в одном из граничных узлов и, следовательно,

$$\hat{u}_{ij} - P(ih; jh) \leq 0 \text{ или } \hat{u}_{ij} \leq P(ih; jh) \text{ во всех узлах сетки } D_h.$$

Теперь рассмотрим сеточную функцию $\hat{u}_h + [P]_h = \{ \hat{u}_{ij} + P(ih; jh) \}$. Применив к этой функции оператор Δ_h , получим

$$\Delta_h(\hat{u}_h + [P]_h) = \{ f(ih; jh) - \gamma \}, \quad i=1, \dots, M-1, \quad j=1, \dots, N-1.$$

Так как $f(ih; jh) - \gamma \leq 0$ для $i=1, \dots, M-1, \quad j=1, \dots, N-1$, то из Предложения 2 следует, что сеточная функция $\hat{u}_h + [P]_h = \{ \hat{u}_{ij} + P(ih; jh) \} \quad (i=0, \dots, M, \quad j=0, \dots, N)$ достигает своего наименьшего значения в одном из граничных узлов и, следовательно, $\hat{u}_{ij} + P(ih; jh) \geq 0$ или $\hat{u}_{ij} \geq -P(ih; jh)$ во всех узлах сетки D_h .

Таким образом,

$$-P(ih; jh) \leq \hat{u}_{ij} \leq P(ih; jh)$$

во всех узлах сетки D_h . Следовательно,

$$\|\hat{u}_h\|_{E_h} = \max_{ij} |\hat{u}_{ij}| \leq \max_{ij} |P(ih; jh)| \leq \left(\frac{1}{4} R^2 + 1 \right) \|g_h\|_{F_h}$$

и условие устойчивости для разностной схемы (4) выполняется с константой $A = \frac{1}{4} R^2 + 1$.

По теореме Филиппова из аппроксимации и устойчивости разностной схемы получаем ее сходимость:

$$\|\hat{u}_h - [\hat{u}]_h\|_{E_h} \rightarrow 0 \text{ при } h \rightarrow 0 \text{ (} h, \hbar \rightarrow 0 \text{)},$$

здесь \hat{u}_h - решение разностной схемы (3) (или что тоже самое (4)), \hat{u} - точное решение исходной дифференциальной задачи (1) – (2).

4. Итерационный метод решения разностной схемы

Пусть $h = \hbar$. Тогда из (3) имеем

$$u_{ij} = \frac{1}{4}(u_{i-1j} + u_{i+1j} + u_{ij-1} + u_{ij+1}) - \frac{h^2}{4} f(ih; j\hbar),$$

$$i = 1, \dots, M-1, \quad j = 1, \dots, N-1.$$

Определим алгоритм итерационного метода формулой

$$u_{ij}^{(n+1)} = \frac{1}{4}(u_{i-1j}^{(n)} + u_{i+1j}^{(n)} + u_{ij-1}^{(n)} + u_{ij+1}^{(n)}) - \frac{h^2}{4} f(ih; j\hbar),$$

$$i = 1, \dots, M-1, \quad j = 1, \dots, N-1.$$

Для любого n остальные значения $u_{ij}^{(n)}$ в граничных узлах сетки определяются граничными условиями:

$$u_{0j}^{(n+1)} = \varphi_1(j\hbar), \quad u_{Mj}^{(n+1)} = \varphi_2(j\hbar), \quad j = 0, \dots, N,$$

$$u_{i0}^{(n+1)} = \varphi_3(ih), \quad u_{iN}^{(n+1)} = \varphi_4(ih), \quad i = 0, \dots, M.$$

В качестве начального приближения выберем сеточную функцию $u_h^{(0)}$:

$$u_{0j}^{(0)} = \varphi_1(j\hbar), \quad u_{Mj}^{(0)} = \varphi_2(j\hbar), \quad j = 0, \dots, N,$$

$$u_{i0}^{(0)} = \varphi_3(ih), \quad u_{iN}^{(0)} = \varphi_4(ih), \quad i = 0, \dots, M,$$

$$u_{ij}^{(0)} = 1, \quad i = 1, \dots, M-1, \quad j = 1, \dots, N-1.$$

Покажем, что $u_h^{(n)} \rightarrow \hat{u}_h$ при $n \rightarrow \infty$.

Обозначим, через $v_h^{(n)} = \hat{u}_h - u_h^{(n)}$ ошибку n -ого приближения.

Тогда

$$v_{ij}^{(n)} = 0, \text{ если } (ih; jh) \in \Gamma_h,$$

$$v_{ij}^{(n)} = \frac{v_{i+1j}^{(n-1)} + v_{ij+1}^{(n-1)} + v_{i-1j}^{(n-1)} + v_{ij-1}^{(n-1)}}{4}, \text{ если}$$

$$(ih; jh) \in \Omega_h.$$

Положим $\max_{ij} |v_{ij}^{(n)}| = A_n$. Нужно доказать, что $A_n \rightarrow 0$ при $n \rightarrow \infty$.

Имеет место неравенство

$$|v_{ij}^{(n+1)}| \leq \frac{3}{4} A_n = \left(1 - \frac{1}{4}\right) A_n \text{ для } (ih; jh) \in \Omega_h^{(1)},$$

где $\Omega_h^{(1)}$ - множество внутренних узлов сетки, находящихся на расстоянии равном h от множества граничных узлов Γ_h , так как, по крайней мере, одно из слагаемых формулы (5) равно нулю. Далее получаем, что

$$|v_{ij}^{(n+1)}| \leq \left(1 - \frac{1}{4^2}\right) A_n \text{ для } (ih; jh) \in \Omega_h^{(2)},$$

где $\Omega_h^{(2)}$ - множество внутренних узлов сетки, находящихся на расстоянии равном $2h$ от множества граничных узлов Γ_h , так как, по крайней мере, одно из слагаемых формулы (5) удовлетворяет предыдущему неравенству. Таким образом,

$$|v_{ij}^{(n+1)}| \leq \left(1 - \frac{1}{4^k}\right) A_n \text{ для } (ih; jh) \in \Omega_h^{(k)},$$

где $\Omega_h^{(k)}$ - множество внутренних узлов сетки, находящихся на расстоянии kh от множества граничных узлов Γ_h , для любого k , $1 \leq k \leq L$, здесь L - наибольшее расстояние от внутреннего узла сетки до множества ее граничных узлов.

Отсюда получаем, что $A_{n+1} \leq \left(1 - \frac{1}{4^L}\right) A_n$ и, следовательно,

$\lim_{n \rightarrow \infty} A_n = 0$. Сходимость алгоритма доказана.

Задания для практической работы

1. Решить смешанную задачу для уравнения теплопроводности $\frac{\partial u}{\partial t} = \frac{\partial^2 u}{\partial x^2}$ с начальным условием $u(x,0)=f(x)$, $0 \leq x \leq 1$, $0 \leq t \leq 0,1$.

| Номер варианта | Функция $f(x)$ |
|----------------|----------------|
| 1 | $x(x-1)$ |
| 2 | $1+x*x$ |
| 3 | $x*x(1-x)$ |
| 4 | $\ln(1+x)$ |
| 5 | $\exp(-x)$ |
| 6 | $(x*x+x+1)$ |
| 7 | $\cos x$ |
| 8 | $x\sin(x-1)$ |

| | |
|----|------------------------|
| 9 | $x\sin(2\pi x)$ |
| 10 | $1/(1+x*x)$ |
| 11 | $x\exp(-x)$ |
| 12 | $\arctg x$ |
| 13 | $1-x*x$ |
| 14 | $1/(1+x)$ |
| 15 | $(x*x+0,5)\cos(\pi x)$ |

2. Найти решение задачи Дирихле в квадрате со стороной 1 для уравнения Лапласа с краевыми условиями вида $u(0,y)=f_1(y)$, $u(1,y)=f_2(y)$, $u(x,0)=f_3(x)$, $u(x,1)=f_4(x)$, $(0 \leq y \leq 1, 0 \leq x \leq 1)$.

| Номер варианта | $f_1(y)$ | $f_2(y)$ | $f_3(y)$ | $f_4(y)$ |
|-------------------|----------------------------------|--------------------------|----------------------------------|----------|
| 1 | $y*y$ | $\cos y + (2 - \cos 1)y$ | $x*x*x$ | $x+1$ |
| 2 | $\exp(y) - \exp(1)y*y$ | y | $-x*x*x+1$ | $x*x$ |
| 3 | $-y*y+1$ | y | $\sin x + 1 - x*x*x(1 + \sin 1)$ | x |
| 4 | 0 | y | $\sin x - x*x*x\sin 1$ | x |
| 5 | $\exp(y) + y*y(1 - \exp(1)) - 1$ | y | 0 | x |
| 6 | $y*y$ | $\cos y + y(3 - \cos 1)$ | $x*x*x$ | $2x+1$ |
| 7 | 0 | y | $\sin x - x*x*x\sin 1$ | $x*x$ |
| 8 | 1 | $y+1$ | 1 | $x+1$ |
| 9 | $3-7y$ | $7-6y$ | $4x+3$ | $5x-4$ |
| 10 | $5-8y$ | $11-7y$ | $6x+5$ | $7x-3$ |

| | | | | |
|----|---|-----------------------|-----------|-----------------------|
| 11 | y | $y + \exp(1)$ | $\exp(x)$ | $\exp(x) + 1$ |
| 12 | 0 | $\operatorname{tg} y$ | 0 | $\operatorname{tg} x$ |
| 13 | 0 | $\sin y$ | 0 | $\sin x$ |
| 14 | 1 | $1 + \cos y$ | x | $x + \cos x$ |

```

program msetellip;
{
    Лабораторная работа N 9
    Метод сеток для уравнения Лапласа
    Выполнила студентка 4 курса группы
}
const nm=101;
type
    matr=array[0..nm,0..nm] of real;
var
    g1                      :text;
    name                    :string;
    i,j,k,nx,ny             :word;
    m,sx,sy                 :integer;
    a,am,r,t,hx,hy,eps,x,y :real;
    u                      :matr;

function f1(y:real):real;
begin
    f1:=y*y
end;
function f2(y:real):real;
begin
    f2:=Cos(y)+(2-Cos(1))*y

```

```

end;
function f3(x:real):real;
begin
    f3:=x*x*x
end;
function f4(x:real):real;
begin
    f4:=x+1
end;

begin
    write('Введите имя выходного файла ');
readln(name);
    assign(g1,name); rewrite(g1);
    writeln(g1,'          Лабораторная работа N 9');
    writeln(g1,' Метод сеток для уравнения
Лапласа');
    writeln(g1,'Выполнил студент 4 курса группы
');
    writeln(g1);
    write('Введите число шагов по оси x ');
read(nx);
    write('Введите число шагов по оси y ');
read(ny);
    write('Введите условие останова eps ');
read(eps);
    writeln(g1,'Условие останова eps = ',eps);
    write('Введите максимально допустимое число
итераций m ');

```

```

    read(m);
    write('Введите шаги печати по оси x и по оси y
'); readln(sx,sy);
    hx:=1.0/nx; writeln(g1,'Шаг по оси x ',hx);
    hy:=1.0/ny; writeln(g1,'Шаг по оси y ',hy);
    t:=sqr(hx/hy);
    for j:=0 to ny do
    begin y:=j*hy; u[0,j]:=f1(y); u[ny,j]:=f2(y)
end;

    for i:=0 to nx do
    begin x:=i*hx; u[i,0]:=f3(x); u[i,nx]:=f4(x)
end;

    for i:=1 to nx-1 do
    for j:=1 to ny-1 do u[i,j]:=1.0;
    k:=1;
repeat
    am:=0;
    for i:=1 to nx-1 do
    for j:=1 to ny-1 do
    begin
        a:=0.5*(u[i-1,j]+u[i+1,j]+u[i,j-
1]*t+u[i,j+1]*t)/(1+t);
        if abs(a-u[i,j])>=am then am:=abs(a-u[i,j]);
        u[i,j]:=a;
    end;
    r:=am; k:=k+1; if k>m then
begin
    Writeln(g1,'Число итераций превышает m= ',m);
close(g1);

```

```

        exit;
    end;
    until r<=eps;
        writeln(g1, '
задачи');
Writeln(g1, '*****
*****');
write(g1, '      y= ');
for j:=0 to ny div sy do begin y:=j*sy*hy;
write(g1,y:4:2,'      ') end;
writeln(g1);
Writeln(g1, 'x=');
Writeln(g1, '*****
*****');
        for i:=0 to nx div sx do
            begin x:=i*sx*hx; write(g1, ' ',x:4:2,'* ');
                for j:=0 to ny div sy do
write(g1,u[i*sx,j*sy]:7:4,' ');
                writeln(g1)
            end;
Writeln(g1);
Writeln(g1, '*****
*****');
writeln(g1, 'Число итераций k= ', k);
        close(g1)
end.

```

Решение

```

program msetpar;
{
    Лабораторная работа N 9
    Метод сеток для уравнения теплопроводности
    Выполнил студент 4 курса группы
}
const nm=200;
type
    vec=array[1..nm] of real;
var
    g1                :text;
    name              :string;
    i,j,nx,nt,n,m     :word;
    sx,sx0,st         :integer;
    t,t1,ht,hx        :real;
    z,u               :vec;

function f(x:real):real;
begin
    if (x-0.5)<=0 then f:=10-20*x else f:=40*x-20
end;
procedure spar(hx,ht:real; n:word; var u:vec);
var
    i                :word;
    a1,a1,b1         :real;
    p,q              :vec;
begin
    a1:=ht/(hx*hx); b1:=-a1; a1:=1+2*a1;
    p[1]:=-b1/a1; q[1]:=(u[2]-b1*u[1])/a1;
    for i:=2 to n-1 do
        begin

```

```

        p[i]:=-b1/(b1*p[i-1]+a1);
        q[i:=(u[i+1]-b1*q[i-1])/(b1*p[i-1]+a1)
    end;
    u[n]:=(u[n]-b1*u[n+1]-b1*q[n-1])/(b1*p[n-
1]+a1);
    for i:=1 to n-2 do u[n-i]:=q[n-i-1]+p[n-i-
1]*u[n-i+1]
end;

begin
    write('Введите имя выходного файла ');
readln(name);
    assign(g1,name); rewrite(g1);
    writeln(g1,'          Лабораторная работа N 9');
    writeln(g1,'    Метод сеток для уравнения
теплопроводности');
    writeln(g1,'Выполнил студент 4 курса группы
');
    writeln(g1);
    write('Введите шаг по оси t '); read(ht);
    write('Введите число шагов по оси x ');
read(nx);
    write('Введите число шагов по оси t ');
read(nt);
    write('Введите шаги печати по оси x и по оси t
'); readln(sx,st);
    hx:=1.0/nx; n:=nx div sx+1; sx:=sx-1;
    writeln(g1,'Шаг по оси x ',hx);
    writeln(g1,'Шаг по оси t ',ht);

```



```

        u[1]:=f(0); u[nx+1]:=f(1);
        z[1]:=0; z[nx+1]:=1;
        for i:=2 to nx do begin z[i]:=(i-1)*hx;
u[i]:=f((i-1)*hx) end;
        writeln(g1);
        writeln(g1, '
задачи');
Writeln(g1, '*****
*****');
write(g1, '      *x= ');
for i:=1 to n do write(g1,z[i+(i-1)*sx]:4:2, '      ');
writeln(g1);
Writeln(g1, '*****
*****');
        t:=0; t1:=(st-1)*ht;
        writeln(g1);
        write(g1, 't= ',t:4:2, '*');
        for i:=1 to n do write(g1,u[i+(i-1)*sx]:9:4, '
');
        writeln(g1);
        for i:=1 to nt do
begin
        spar(hx,ht,nx,u); t:=t+ht; if(t-0.00001)>=t1
then
        begin t1:=t1+st*ht; write(g1, 't= ',t:4:2, '*');
                for j:=1 to n do write(g1,u[j+(j-
1)*sx]:9:4, ' '); writeln(g1)
        end
end;
end;

```

Решение

```
Writeln(g1);  
Writeln(g1,'*****  
*****');  
    close(g1)  
end.
```

У ч е б н о е и з д а н и е

**Костин Алексей Владимирович
Костин Дмитрий Владимирович
Колесникова Инна Викторовна
Силаева Марина Николаевна**

**МЕТОД СЕТОК РЕШЕНИЯ КРАЕВЫХ ЗАДАЧ
ДЛЯ ДИФФЕРЕНЦИАЛЬНЫХ УРАВНЕНИЙ
С ЧАСТНЫМИ ПРОИЗВОДНЫМИ**

Учебное пособие

Издано в авторской редакции

Подписано в печать 28.01.2019. Формат 60×84/16.
Усл. п. л. 2,5. Тираж 40. Заказ 153

Издательский дом ВГУ
394018 Воронеж, пл. Ленина, 10
Отпечатано с готового оригинала-макета
в типографии Издательского дома ВГУ
394018 Воронеж, ул. Пушкинская, 3